

## 放物型複素鏡映群の分類について

九州大学 理学部

北川 正一 (Shoichi Kitagawa)

§ 0.

ユークリッド空間に働く合同変換群の元 ( $\neq$  恒等変換) で、超平面を点ごとに固定する、位数有限なものを鏡映(変換)という。一般の多様体に対しても、超平面を超曲面におきかえて、鏡映を同様に定義できる。また、鏡映で生成されるような群を鏡映群 (reflection group) と呼ぶ。

鏡映群の分類については、以下のような歴史がある。

- |  |                   |
|--|-------------------|
| 1934 (実) 有限鏡映群および結晶群                           | (Coxeter)         |
| 1954 有限複素鏡映群                                   | (Shephard - Todd) |
| 1978 放物型複素鏡映群 (二次元の場合) (Yoshida - Hattori)     |                   |
| 1982 複素結晶鏡映群 (二次元の場合) (Tokunaga - Yoshida)     |                   |
| 1982 複素結晶鏡映群                                   | (Popov)           |
| 1983 放物型複素鏡映群 (point group が Coxeter group の時) |                   |
|  | (Yoshida)         |

ここでは、三次元以上の場合で point group が Coxeter group でないような放物型複素鏡映群について分類を行う。

§ 1.

まず、 $m$  次ユニタリ群  $U(m)$  の元に対し鏡映を定義する。

定義.  $w \in U(m)$  が鏡映.

$\Leftrightarrow$  1)  $w \neq$  単位元かつ, 位数有限.

2)  $w$  は 1 を固有値に持ち, その重複度は  $m-1$ .

このとき, 1 と異なる唯一の固有値を  $\mu(w)$ , 対応する固有ベクトル(の一つ)を  $r(w)$  で表す.  $r(w)$  を  $w$  のルートと呼ぶ.  $\square$

これは, “超平面を点ごとに固定する位数有限の元” ということを言い換えただけである.

$E$  を複素ユークリッド空間とする.  $E$  上の合同変換群を  $M(E)$  と書くと,  $E$  の複素次元を  $m$  とするとき,  $M(E) \cong U(m) \ltimes \mathbb{C}^m$  (半直積) である.  $x \in M(E)$  を  $x = (w | \beta)$  ( $w \in U(m)$ ,  $\beta \in \mathbb{C}^m$ ) で表す.

定義.  $x \in M(E)$ ,  $\neq$  恒等変換, が位数有限であって,  $E$  内の超平面を点ごとに固定するとき,  $x$  を鏡映という.  $\square$

このとき,

$x = (w | \beta)$  が鏡映.

$\Leftrightarrow w$  が鏡映,

&  $\beta$  が  $w$  のルート  $r(w)$  に平行,

i.e.  $\exists k \in \mathbb{C}$  s.t.  $\beta = kr(w)$ .

であることがわかる.

## § 2.

対象とする群は  $\mathbb{C}^n$  内の超球(ball)に働く群なのであるが, 表示を見やすくするため, Siegel domain の形で考える.

$V \cong \mathbb{C}^{m+1}$  :  $(m+1)$ -次元複素ベクトル空間とする.  $V$  内の領域  $D$  を

$$\begin{aligned} D &:= \{ (z, u_1, \dots, u_m) \in V ; 2\operatorname{Im} z - \sum |u_j|^2 > 0 \} \\ &\cong B^{m+1} = \{ (z_0, \dots, z_m) \in \mathbb{C}^{m+1} ; \sum |z_j|^2 < 1 \} \end{aligned}$$

で定義する。自然な埋め込み：

$$\begin{array}{ccc} \mathbb{C}^{m+1} & \subset & P^{m+1}(\mathbb{C}) \\ \Downarrow & & \Downarrow \\ (z, u_1, \dots, u_m) & \rightarrow & (v_0, \dots, v_{m+1}), \\ z = v_0/v_{m+1}, \quad u_j = v_j/v_{m+1} \quad (j = 1, \dots, m) & \text{により,} & \end{array}$$

$$D = \{ v = (v_0, \dots, v_{m+1}) \in P^{m+1}(\mathbb{C}) ; \bar{v}H^t v > 0 \}$$

と考えられる。ここで,  $H = \begin{bmatrix} & i \\ & -E_m \\ -i & \end{bmatrix}$ ,  $E_m$  :  $m$ 次単位行列。

従って,  $D$  の解析的自己同型群を  $\operatorname{Aut}(D)$  と書くとき,  
 $\operatorname{Aut}(D) \subset \operatorname{PGL}(m+2, \mathbb{C})$  であって,

$$\operatorname{Aut}(D) \cong \{ G \in \operatorname{GL}(m+2, \mathbb{C}) ; {}^t \bar{G} H G = kH, \exists k > 0 \} / \mathbb{C}^*$$

ただし,  $\mathbb{C}^* = \mathbb{C} - \{0\}$ 。これから,  $\operatorname{Aut}(D)$  の元を  $\operatorname{GL}(m+2, \mathbb{C})$  の適当な元により表現できることがわかる。

$D$  は, 無限遠直線  $v_{m+1} = 0$  と境界  $\partial D$  上において一点で交わっている。i.e.

$$\overline{D} \cap \{ (v_0, \dots, v_{m+1}) \in P^{m+1}(\mathbb{C}) ; v_{m+1} = 0 \} = \{ P = (1, 0, \dots, 0) \}$$

定義をいくつか準備する。

定義.  $g \in \operatorname{Aut}(D)$  が  $P \in \partial D$  を 測地線の意味(geodesic sense)で 固定する。

$\Leftrightarrow \forall$  geodesic  $l(s)$  s.t.  $\lim_{s \rightarrow \infty} l(s) = P$  に対し,

$$\lim_{s \rightarrow \infty} d(l(s), g(l(s))) = 0$$

となる. ここで,  $d(\cdot, \cdot)$  は  $\text{Aut}(D)$ -invariant metric に関する距離函数を表す.  $\square$

行列の形で書くと,

$g \in \text{Aut}(D)$  が  $P = (1, 0, \dots, 0)$  を測地線の意味で固定する.

$$\Leftrightarrow g = \begin{bmatrix} 1 & i\bar{\beta}U & \gamma + \frac{i}{2}\bar{\beta}^t\beta \\ 0 & U & \beta^t \\ 0 & 0 & 1 \end{bmatrix},$$

ここで,  $U \in U(m)$ ,  $\beta \in \mathbb{C}^m$ ,  $\gamma \in \mathbb{R}$ .

以下, こような形の  $g$  を  $g = [U, \beta, \gamma]$  と書き,

$$G := \{g \in \text{Aut}(D) ; g = [U, \beta, \gamma], U \in U(m), \beta \in \mathbb{C}^m, \gamma \in \mathbb{R}\}$$

とおく.

正数  $N$  に対し,  $D$  の部分領域  $D(N)$  を

$$D(N) := \{(z, u_1, \dots, u_n) \in V ; 2\text{Im } z - \sum |u_j|^2 > N\}$$

で定義する.

定義.  $\Gamma \subset G$  : discrete subgroup とする.

$\Gamma$  は ( $P = (1, 0, \dots, 0)$  のまわりで,) 局所的に体積有限.

$\Leftrightarrow$  十分大きな  $N (> 0)$  に対し, 商空間  $D(N)/\Gamma$  の  
( $\text{Aut}(D)$ -不变な測度に関する) 体積が有限になる.  $\square$

## § 3.

分類を目標としている群は、局所的に体積有限な  $G$  の離散部分群で鏡映で生成されているものである。以下、これを放物型鏡映群と呼ぶことにする。まず、 $G$  の元に対して、鏡映を定義する必要がある。 $D$  は射影空間内の領域と考えられるから、 $D$  内の超平面なるものを考えることができる。

定義.  $x \in G$  が 鏡映 (reflection).

$\Leftrightarrow x (\neq 1)$  は位数有限で、 $D$  内の超平面を点ごとに固定する。□

この条件は次のように書き換えられる。

$x = [w, \beta, \gamma] \in G$  が 鏡映.

$\Leftrightarrow (w | \beta)$  が 鏡映 (§ 1),

$$\& \gamma = \frac{i \bar{\beta}^t \beta}{2} \frac{\mu(w) + 1}{\mu(w) - 1}.$$

実は、分類される群のなかに現れる鏡映の位数は 2, 3, 4 または 6 に限られることが（結晶群の分類から）わかっている。 $w$  の位数と  $\gamma$  の関係をまとめると次のようになる。

$w$ の位数	2	3	4	6
$\mu(w)$	-1	$\omega$	i	$1 + \omega$
$\gamma$	0	$ \beta ^2/2\sqrt{3}$	$ \beta ^2/2$	$\sqrt{3} \beta ^2/2$

放物型鏡映群の構造を明らかにするために必要となる 結晶群 (crystallographic group) について述べる。

定義.  $G_0 \subset M(E)$  : 縮散部分群とする。

$G_0$  が 結晶群.

$\Leftrightarrow E/G_0$  : compact. □

放物型鏡映群と結晶群の関係については次の命題が重要.

$$\begin{array}{ccc} \pi_*: & G & \rightarrow M(E) \\ & \Downarrow & \Downarrow \\ & [U, \beta, \gamma] & \rightarrow (U + \beta) \end{array}$$

命題.  $\Gamma \subset G$ : 局所的に体積有限な  $G$  の離散部分群.

$\Rightarrow \pi_*(\Gamma)$ : 結晶群で,

$$\ker(\pi_*|_{\Gamma}) = (\Gamma \text{ の center } Z(\Gamma)) \cong \mathbb{Z}.$$

$$(1 \rightarrow Z(\Gamma) \rightarrow \Gamma \rightarrow \pi_*(\Gamma) \rightarrow 1) \quad [1]$$

$\Gamma$  の center  $Z(\Gamma)$  は,

$$Z(\Gamma) = ([E, 0, \gamma] : \gamma \in q(\Gamma)\mathbb{Z})$$

と書ける. ここで,  $E$ : 単位行列,

$$q(\Gamma) = \inf\{|\gamma| : [E, 0, \gamma] \in \Gamma, \gamma \neq 0\}.$$

$q_0 := \inf\{|2\operatorname{Im} \overline{\beta}^t \beta| : \beta, \beta' \in L\} - \{0\}$  に対し,

$\exists n \in \mathbb{N}$  s.t.  $q(\Gamma) = q_0/n$  となる.

また, Bieberbach の定理より,

$$L := \pi_*(\Gamma) \cap ((E + \beta) \in M(E) : \beta \in \mathbb{C}^m)$$

とおくと,  $L$  は rank  $m$  の lattice になり,  $\pi_*(\Gamma)/L$  は有限群となる. i.e.

$$1 \rightarrow L \rightarrow \pi_*(\Gamma) \rightarrow W \rightarrow 1, \quad \#W < \infty.$$

このとき,  $W$  を  $\pi_*(\Gamma)$  (または  $\Gamma$ ) の点群 (point group) という.

## § 4.

$\Gamma$  を局所的に体積有限な  $G$  の離散部分群とする。拡大：

$$1 \rightarrow Z(\Gamma) \rightarrow \Gamma \rightarrow \pi_*(\Gamma) \rightarrow 1$$

において、 $\Gamma$  が鏡映で生成されているならば、 $\pi_*(\Gamma)$  も鏡映で生成されていなければならない。また、結晶鏡映群についてはその分類が知られている。従って、放物型鏡映群を分類するためには、各結晶鏡映群に対し、それを  $\pi_*(\Gamma)$  とするような  $\Gamma$  を構成し、それが鏡映で生成されているかどうか調べればよい。

$G$  の積は、

$$[w_1, \beta_1, r_1] [w_2, \beta_2, r_2] = [w_1 w_2, \beta_1 + w_1^t \beta_2, r_1 + r_2 - \text{Im} \beta_1 w_1^t \beta_2]$$

となっている。 $[ \cdot, \cdot, * ]$  の \* の部分を central part と呼ぶ。

今、簡単のため、結晶群  $\pi_*(\Gamma)$  は point group と lattice の半直積とすると、

命題 局所的に体積有限な  $G$  の離散部分群  $\Gamma$  が鏡映で生成されている場合を考える。このとき、

$\Gamma$  の鏡映はすべて位数 2.

$\Rightarrow$  central part は  $(q_0/2)\mathbb{Z}$  に含まれる。

$\Gamma$  が位数 3 または 6 の鏡映を含む。

$\Rightarrow$  central part は  $(q_0/6)\mathbb{Z}$  に含まれる。

$\Gamma$  が位数 4 の鏡映を含む。

$\Rightarrow$  central part は  $(q_0/4)\mathbb{Z}$  に含まれる。□

これにより、結晶群を決めると、それを  $\pi_*(\Gamma)$  とするような放物型複素鏡映群  $\Gamma$  の center の可能性は、それほど多くないことがわかる。

完全列 :  $1 \rightarrow Z(\Gamma) \rightarrow \Gamma \rightarrow \pi_*(\Gamma) \rightarrow 1$  に注目する。 $\Gamma$  は section  $s : \pi_*(\Gamma) \rightarrow \Gamma$ ,  $\pi_* \circ s = \text{id}_{\pi_*(\Gamma)}$  により記述できる。

これは、 $\Gamma$  の生成元について定めてやればよい。結晶群とそれに対する可能な center を選び、取り得る section の値総てに対し、それぞれの場合に  $\Gamma$  が鏡映で生成されているかどうか調べるという作業を、分類されている結晶群総てにわたって行うと（特別な群に対しては他にも注意しなければならない条件もあるが）、

定理.  $\Gamma : P$  を測地線の意味で固定する、局所的に体積有限な離散群とする。鏡映で生成されている  $\Gamma$  を  $(\text{Aut}(D)-)$  共役を除いて分類すると表の結果を得る。

直ちに従うこととして、

系.  $\forall K$  : 結晶鏡映群に対し、

$\exists \Gamma_0$ : 放物型鏡映群

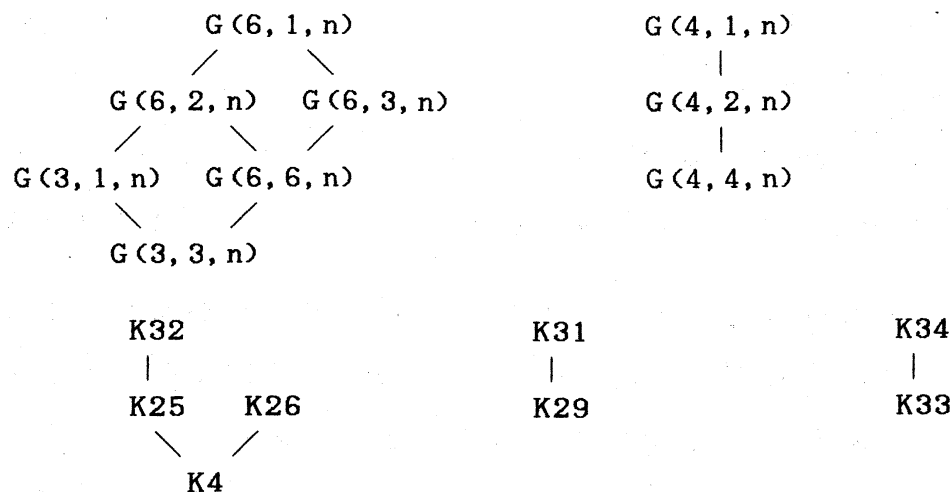
s. t.  $\pi_*(\Gamma) = K$  なる  $\forall \Gamma$ : 放物型鏡映群は  $\Gamma_0$  の部分群。

さらに,  $K = W \ltimes L \Rightarrow \Gamma_0 = W \ltimes L(\Gamma_0)$ .

系.  $W, W' : \Gamma, \Gamma'$  の点群とする。

$W < W' \Rightarrow \exists g \in \text{Aut}(D)$  s. t.  $g^{-1}\Gamma g < \Gamma'$ .

注意. 有限複素鏡映群のあいだには次のような包含関係がある.



表について.

#### 結晶群と放物型鏡映群の表.

Point Group は有限鏡映群であり, Roots 欄の各ベクトルをルートとするような鏡映により生成されている.

ルートに対する()内の数字は対応する鏡映の位数を表す. 何も書いてない場合は位数が2であることを示す. 例えば,

$$\beta_1 = e_1 \quad (\textcircled{3})$$

は,  $\beta_1$  をルートとする鏡映の位数が3であることを表している.

$e_j$  は  $\mathbb{C}^n$  の標準的基底を表す. i.e.  $e_j = (0, \dots, \underset{j}{\downarrow}, \dots, 0)$ .

$q_0$  については § 3 参照.

center 欄は center の central part (§ 4) を表示する.

$r_j$  は,  $\beta_j$  をルートとする鏡映(unitary reflection) を表す.

## Crystallographic reflection groups

(Point Group) $\times$ (Lattice)		
Point Group	Lattice	Roots
( Dimension $n \geq 2$ )		
$G(3, 1, n)$	$L_1 = (\mathbb{Z} + \omega \mathbb{Z}) \frac{1}{\sqrt{2}} \beta_1 + \sum_{j=2}^n (\mathbb{Z} + \omega \mathbb{Z}) \beta_j$	$\beta_1 = e_1$ $(G(3, 1, n) \rightarrow \textcircled{3})$ $(G(4, 1, n) \rightarrow \textcircled{4})$ $(G(6, 1, n) \rightarrow \textcircled{6})$
	$L_2 = (\mathbb{Z} + \omega \mathbb{Z}) \frac{1}{\sqrt{2}} \beta_1 + \sum_{j=2}^n (\mathbb{Z} + \omega \mathbb{Z}) \frac{2\omega+1}{3} \beta_j$	
$G(4, 1, n)$	$L_1 = (\mathbb{Z} + i \mathbb{Z}) \frac{1}{\sqrt{2}} \beta_1 + \sum_{j=2}^n (\mathbb{Z} + i \mathbb{Z}) \beta_j$	$\beta_j = \frac{e_{j-1} - e_j}{\sqrt{2}}$ $(j = 2, \dots, n)$
	$L_2 = (\mathbb{Z} + i \mathbb{Z}) \frac{1}{\sqrt{2}} \beta_1 + \sum_{j=2}^n (\mathbb{Z} + i \mathbb{Z}) \frac{1+i}{2} \beta_j$	
$G(6, 1, n)$	$L = (\mathbb{Z} + \omega \mathbb{Z}) \frac{1}{\sqrt{2}} \beta_1 + \sum_{j=2}^n (\mathbb{Z} + \omega \mathbb{Z}) \beta_j$	
( Dimension $n \geq 3$ )		
$G(3, 3, n)$	$L = \sum_{j=1}^n (\mathbb{Z} + \omega \mathbb{Z}) \beta_j$	$\beta_1 = \frac{\omega e_1 - e_2}{\sqrt{2}}$
$G(4, 4, n)$	$L = \sum_{j=1}^n (\mathbb{Z} + i \mathbb{Z}) \beta_j$	$\beta_1 = \frac{i e_1 - e_2}{\sqrt{2}}$
$G(6, 6, n)$	$L = \sum_{j=1}^n (\mathbb{Z} + \omega \mathbb{Z}) \beta_j$	$\beta_1 = \frac{(1+\omega) e_1 - e_2}{\sqrt{2}}$
$G(m, m, n)$ $m = 3, 4, 6$		$\beta_j = \frac{e_{j-1} - e_j}{\sqrt{2}}$ $(j = 2, \dots, n)$

(Point Group) $\ltimes$ (Lattice)		
Point Group	Lattice	Roots
( Dimension $n \geq 2$ )		
$G(4, 2, n-1)$	$L_1 = \sum_{j=1}^{n-1} (\mathbb{Z} + i\mathbb{Z}) \beta_j$	$\beta_1 = \frac{i e_1 - e_2}{\sqrt{2}}$
	$L_2 = \sum_{j=1}^{n-1} (\mathbb{Z} + i\mathbb{Z}) \beta_j + (\mathbb{Z} + i\mathbb{Z}) \frac{1}{\sqrt{2}} \beta_n$	
$G(4, 2, 2)$	$L_3 = (\mathbb{Z} + i\mathbb{Z}) \beta_1 + (\mathbb{Z} + i\mathbb{Z})(1+i) \beta_2$	$\beta_3 = -e_2$
$G(6, 2, n-1)$	$L_1 = \sum_{j=1}^{n-1} (\mathbb{Z} + \omega\mathbb{Z}) \beta_j$	$\beta_1 = \frac{(1+\omega)e_1 - e_2}{\sqrt{2}}$
$G(6, 2, 2)$	$L_2 = (\mathbb{Z} + \omega\mathbb{Z}) \beta_1 + (\mathbb{Z} + \omega\mathbb{Z})(2+\omega) \beta_2$	$\beta_3 = -e_2 \quad (\textcircled{3})$
$G(6, 3, n-1)$	$L_1 = \sum_{j=1}^{n-1} (\mathbb{Z} + \omega\mathbb{Z}) \beta_j$	$\beta_1 = \frac{(1+\omega)e_1 - e_2}{\sqrt{2}}$
$G(6, 3, 2)$	$L_2 = (\mathbb{Z} + 2\omega\mathbb{Z}) \beta_1 + (2\mathbb{Z} + \omega\mathbb{Z}) \beta_2$	$\beta_3 = -e_2$
$G(m, p, n-1)$	$(m, p) = (4, 2), (6, 2), (6, 3).$	$\beta_j = \frac{e_{j-1} - e_j}{\sqrt{2}} \quad (j = 2, \dots, n-1)$ $\beta_n = -e_{n-1}$ $(G(6, 2, n-1) \rightarrow \textcircled{3})$

Point Group	Lattice	Roots
( Dimension = 2 )		
K 4	$L = \sum_{j=1}^2 (\mathbb{Z} + \omega \mathbb{Z}) \beta_j$	$\beta_1 = e_1 \quad (③)$ $\beta_2 = \frac{1-\omega}{3} \sum_{j=1}^3 e_j \quad (③)$
K 5	$L = (\mathbb{Z} + \omega \mathbb{Z}) \beta_1 + (\mathbb{Z} + \omega \mathbb{Z}) \sqrt{2} \beta_2$	$\beta_1 = e_1 \quad (③)$ $\beta_2 = \frac{1-\omega}{3} (\sqrt{2} e_1 + e_2) \quad (③)$
K 8	$L = \sum_{j=1}^2 (\mathbb{Z} + i \mathbb{Z}) \beta_j$	$\beta_1 = e_1 \quad (④)$ $\beta_2 = \frac{1-i}{2} (e_1 - e_2) \quad (④)$
K 12	$L = \sum_{j=1}^2 (\mathbb{Z} + i \sqrt{2} \mathbb{Z}) \beta_j$	$\beta_1 = \frac{1}{\sqrt{2}} e_1 + \frac{1+i}{2} e_2$ $\beta_2 = \frac{2+(\sqrt{2}-2)i}{4} e_1 + \frac{2+\sqrt{2}-\sqrt{2}i}{4} e_2$ $\beta_3 = \frac{1-i}{2} e_1 - \frac{i}{\sqrt{2}} e_2$
( Dimension = 3 )		
K 24	$L = \sum_{j=1}^3 (\mathbb{Z} + \eta \mathbb{Z}) \beta_j$ $(\eta = \frac{1+\sqrt{7}i}{2})$	$\beta_1 = e_2$ $\beta_2 = \frac{1-\eta}{2} (e_2 + e_3)$ $\beta_3 = \frac{-e_1 - e_2 + \eta e_3}{2}$
K 25	$L = \sum_{j=1}^3 (\mathbb{Z} + \omega \mathbb{Z}) \beta_j$	$\beta_1 = e_3 \quad (③)$ $\beta_2 = \frac{1-\omega}{3} \sum_{j=1}^3 e_j \quad (③)$ $\beta_3 = -\omega e_2 \quad (③)$
K 26	$L_1 = \sum_{j=1}^2 (\mathbb{Z} + \omega \mathbb{Z}) \frac{1}{\sqrt{2}} \beta_j + (\mathbb{Z} + \omega \mathbb{Z}) \beta_3$	$\beta_1 = \frac{2+\omega}{3} \sum_{j=1}^3 e_j \quad (③)$ $\beta_2 = e_2 \quad (③)$
	$L_2 = \sum_{j=1}^2 (\mathbb{Z} + \omega \mathbb{Z}) \frac{1}{\sqrt{2}} \beta_j + (\mathbb{Z} + \omega \mathbb{Z}) \frac{2\omega+1}{3} \beta_3$	$\beta_3 = \frac{e_2 - e_3}{\sqrt{2}}$

Point Group	Lattice	Roots
( Dimension = 4 )		
K 29	$L = \sum_{j=1}^4 (\mathbb{Z} + i\mathbb{Z}) \beta_j$	$\beta_1 = \frac{e_2 - e_4}{\sqrt{2}}$ $\beta_2 = \frac{-i e_2 - e_3}{\sqrt{2}}$ $\beta_3 = \frac{-e_3 + e_4}{\sqrt{2}}$ $\beta_4 = \frac{-1+i}{2\sqrt{2}} \sum_{j=1}^4 e_j$
K 31	$L = \sum_{j=1}^4 (\mathbb{Z} + i\mathbb{Z}) \beta_j$	$\beta_5 = \frac{1-i}{\sqrt{2}} e_4 \quad ( K 31 )$
( Dimension = 5, 6 )		
K 32	$L = \sum_{j=1}^4 (\mathbb{Z} + \omega\mathbb{Z}) \beta_j$	$\beta_1 = e_3 \quad ( ③ )$ $\beta_2 = \frac{1-\omega}{3} \sum_{j=1}^3 e_j \quad ( ③ )$ $\beta_3 = -\omega e_2 \quad ( ③ )$ $\beta_4 = \frac{1+2\omega}{3} (e_1 - e_2 - e_4) \quad ( ③ )$
K 33	$L = \sum_{j=1}^5 (\mathbb{Z} + \omega\mathbb{Z}) \beta_j$	$\beta_1 = \frac{\omega}{\sqrt{2}} (e_5 + e_6)$ $\beta_2 = \frac{\omega}{2\sqrt{2}} (e_1 - (1+2\omega)e_2 - \sum_{j=3}^6 e_j)$ $\beta_k = \frac{e_{k-2} - e_{k-1}}{\sqrt{2}} \quad ( k = 3, 4, 5 )$
K 34	$L = \sum_{j=1}^6 (\mathbb{Z} + \omega\mathbb{Z}) \beta_j$	$\beta_6 = -\frac{1+\omega}{2\sqrt{2}} \left( \sum_{j=1}^3 e_j + (1+2\omega)e_4 + e_5 - e_6 \right) \quad ( K 34 )$

Point Group	Lattice	Generators	Group
$G(4, 2, n-1)$	$L_1 = \sum_{j=1}^{n-1} (\mathbb{Z} + i\mathbb{Z}) \beta_j$	$(r_j   0)$ $(r_j   \beta_j)$ $(r_j   i\beta_j)$ $(j = 1, \dots, n-1)$ $(r_n   \frac{\beta_n}{\sqrt{2}})$	$[G(4, 2, n-1), L_1]^\circ$
$K_{12}$	$L = \sum_{j=1}^2 (\mathbb{Z} + i\sqrt{2}\mathbb{Z}) \beta_j$	$(r_1   0), (r_2   0)$ $(r_1   \beta_1)$ $(r_2   \beta_2)$ $(r_1   i\sqrt{2}\beta_1)$ $(r_2   i\sqrt{2}\beta_2)$ $(r_3   \frac{i}{\sqrt{2}} \beta_3)$	$[K_{12}, L]^\circ$
$K_{31}$	$L = \sum_{j=1}^4 (\mathbb{Z} + i\mathbb{Z}) \beta_j$	$(r_j   0)$ $(r_j   \beta_j)$ $(r_j   i\beta_j)$ $(j = 1, \dots, 4)$ $(r_n   \frac{1+i}{\sqrt{2}} \beta_n)$	$[K_{31}, L]^\circ$

## Parabolic Reflection Groups

Crystallographic Group	$q_0$	Center	Sections (Generators)
$G(3, 1, n) \ltimes L_1$	$\frac{\sqrt{3}}{2}$	$\frac{1}{2\sqrt{3}} \mathbb{Z}$	$[ r_1, 0, 0 ]$ $[ r_1, \frac{1}{\sqrt{2}} \beta_1, \frac{1}{4\sqrt{3}} ]$
		$\frac{\sqrt{3}}{2} \mathbb{Z}$	$[ r_1, 0, 0 ]$ $[ r_1, \frac{1}{\sqrt{2}} \beta_1, \frac{1}{4\sqrt{3}} ]$
		$\frac{1}{\sqrt{3}} \mathbb{Z}$	$[ r_1, 0, \frac{1}{\sqrt{3}} ]$ $[ r_1, \frac{1}{\sqrt{3}} \beta_1, \frac{1}{4\sqrt{3}} ]$
	$\frac{1}{2\sqrt{3}}$	$\frac{1}{2\sqrt{3}} \mathbb{Z}$	$[ r_1, 0, 0 ]$ $[ r_1, \frac{1}{\sqrt{2}} \beta_1, \frac{1}{4\sqrt{3}} ]$
		$\frac{1}{4} \mathbb{Z}$	$[ r_1, 0, 0 ]$ $[ r_1, \frac{1}{\sqrt{2}} \beta_1, 0 ]$
		$\frac{1}{2} \mathbb{Z}$	$[ r_1, 0, 0 ]$ $[ r_1, \frac{1}{\sqrt{2}} \beta_1, 0 ]$
$G(4, 1, n) \ltimes L_1$	1	$\frac{1}{4} \mathbb{Z}$	$[ r_1, 0, \frac{1}{4} ]$ $[ r_1, \frac{1}{\sqrt{2}} \beta_1, \frac{1}{4} ]$
		$\frac{1}{2} \mathbb{Z}$	$[ r_1, 0, \frac{1}{4} ]$ $[ r_1, \frac{1}{\sqrt{2}} \beta_1, \frac{1}{4} ]$
		$\mathbb{Z}$	$[ r_1, 0, 0 ]$ $[ r_1, \frac{1}{\sqrt{2}} \beta_1, 0 ]$
	-	$\frac{1}{4} \mathbb{Z}$	$[ r_1, 0, \frac{1}{4} ]$ $[ r_1, \frac{1}{\sqrt{2}} \beta_1, \frac{1}{4} ]$
		$\frac{1}{2} \mathbb{Z}$	$[ r_1, 0, \frac{1}{4} ]$ $[ r_1, \frac{1}{\sqrt{2}} \beta_1, \frac{1}{4} ]$
		$\mathbb{Z}$	$[ r_1, 0, 0 ]$ $[ r_1, \frac{1}{\sqrt{2}} \beta_1, 0 ]$

Crystallographic Group	$q_0$	Center	Sections (Generators)
$G(4, 1, n) \bowtie L_2$	$\frac{1}{2}$	$\frac{1}{4} \mathbb{Z}$	$[ r_1, 0, 0 ]$ $[ r_1, \frac{1}{\sqrt{2}} \beta_1, 0 ]$
		$\frac{1}{2} \mathbb{Z}$	$[ r_1, 0, 0 ]$ $[ r_1, \frac{1}{\sqrt{2}} \beta_1, \frac{1}{4} ]$
$G(6, 1, n) \bowtie L_2$	$\frac{\sqrt{3}}{2}$	$\frac{1}{4\sqrt{3}} \mathbb{Z}$	$[ r_1, 0, 0 ]$ $[ r_1, \frac{1}{\sqrt{2}} \beta_1, 0 ]$
		$\frac{\sqrt{3}}{4} \mathbb{Z}$	$[ r_1, 0, 0 ]$ $[ r_1, \frac{1}{\sqrt{2}} \beta_1, 0 ]$
$G(m, 1, n) \bowtie L$ ( $m = 3, 4, 6$ )			$[ r_j, 0, 0 ]$ $[ r_j, x\beta_j, 0 ]$ $[ r_j, x\xi\beta_j, 0 ]$ ( $j = 2, \dots, n$ ) ( $x = 1, \frac{2\omega+1}{3}$ or $\frac{1+i}{2}$ ) ( $\xi = i$ or $\omega$ )
$G(3, 3, n) \bowtie L$	$\frac{\sqrt{3}}{2}$	$\frac{\sqrt{3}}{2} \mathbb{Z}$	$[ r_j, 0, 0 ]$ $[ r_j, \beta_j, 0 ]$ $[ r_j, \xi\beta_j, 0 ]$ ( $j = 1, \dots, n$ ) ( $\xi = i$ or $\omega$ )
$G(4, 4, n) \bowtie L$	1	$\mathbb{Z}$	
$G(6, 6, n) \bowtie L$	$\frac{\sqrt{3}}{2}$	$\frac{\sqrt{3}}{2} \mathbb{Z}$	

Crystallographic Group	$q_\theta$	Center	Sections ( Generators )
		$\frac{1}{2} \mathbb{Z}$	$[ r_n, 0, 0 ]$ $[ r_n, \frac{1+i}{\sqrt{2}} \beta_n, 0 ]$ $[ r_n, \frac{-1+i}{\sqrt{2}} \beta_n, 0 ]$
$G(4, 2, n-1) \ltimes L_1$	1	$\mathbb{Z}$	$[ r_n, 0, 0 ]$ $[ r_n, \frac{1+i}{\sqrt{2}} \beta_n, \frac{1}{2} ]$ $[ r_n, \frac{-1+i}{\sqrt{2}} \beta_n, \frac{1}{2} ]$
		$\frac{1}{2} \mathbb{Z}$	$[ r_n, 0, \frac{1}{2} ]$ $[ r_n, \frac{1+i}{\sqrt{2}} \beta_n, 0 ]$ $[ r_n, \frac{-1+i}{\sqrt{2}} \beta_n, 0 ]$
$G(4, 2, n-1) \ltimes L_2$	1	$\mathbb{Z}$	$[ r_n, 0, 0 ]$ $[ r_n, \frac{1}{\sqrt{2}} \beta_n, 0 ]$ $[ r_n, \frac{i}{\sqrt{2}} \beta_n, 0 ]$
		$\mathbb{Z}$	$[ r_n, 0, \frac{1}{2} ]$ $[ r_n, \frac{1}{\sqrt{2}} \beta_n, 0 ]$ $[ r_n, \frac{i}{\sqrt{2}} \beta_n, 0 ]$

Crystallographic Group	$q_\theta$	Center	Sections (Generators)
$G(6, 2, n-1) \ltimes L_1$	$\frac{\sqrt{3}}{2}$	$\frac{1}{2\sqrt{3}} \mathbb{Z}$	$[ r_1, 0, 0 ]$ $[ r_1, \frac{1}{\sqrt{2}} \beta_1, \frac{1}{4\sqrt{3}} ]$
		$\frac{\sqrt{3}}{2} \mathbb{Z}$	$[ r_1, 0, 0 ]$ $[ r_1, \frac{1}{\sqrt{2}} \beta_1, \frac{3}{4\sqrt{3}} ]$
			$[ r_1, 0, \frac{1}{\sqrt{3}} ]$ $[ r_1, \frac{1}{\sqrt{3}} \beta_1, \frac{1}{4\sqrt{3}} ]$
	$\frac{\sqrt{3}}{2}$	$\frac{\sqrt{3}}{4} \mathbb{Z}$	$[ r_n, 0, 0 ]$ $[ r_n, \frac{1}{\sqrt{2}} \beta_n, 0 ]$ $[ r_n, \frac{\omega}{\sqrt{2}} \beta_n, 0 ]$
		$\frac{\sqrt{3}}{2} \mathbb{Z}$	$[ r_n, 0, 0 ]$ $[ r_n, \frac{1}{\sqrt{2}} \beta_n, \frac{\sqrt{3}}{4} ]$ $[ r_n, \frac{\omega}{\sqrt{2}} \beta_n, \frac{\sqrt{3}}{4} ]$
			$[ r_n, 0, \frac{\sqrt{3}}{4} ]$ $[ r_n, \frac{1}{\sqrt{2}} \beta_n, 0 ]$ $[ r_n, \frac{\omega}{\sqrt{2}} \beta_n, 0 ]$
$G(m, p, n-1) \ltimes L$ $(m, p) = (4, 2), (6, 2), (6, 3)$			$[ r_j, 0, 0 ]$ $[ r_j, \beta_j, 0 ]$ $[ r_j, \zeta \beta_j, 0 ]$ $(j = 1, \dots, n-1)$ $(\zeta = i \text{ or } \omega)$

Crystallographic Group	$q_0$	Center	Sections ( Generators )
$G(4, 2, 2) \ltimes L_3$	2	$\mathbb{Z}$	$[ r_1, 0, 0 ]$ $[ r_1, \beta_1, 0 ]$ $[ r_1, i\beta_1, 0 ]$ $[ r_2, 0, 0 ]$ $[ r_2, (1+i)\beta_2, 0 ]$ $[ r_2, (-1+i)\beta_2, 0 ]$ $[ r_3, 0, 0 ]$ $[ r_3, \sqrt{2}\beta_3, 0 ]$ $[ r_3, \sqrt{2}i\beta_3, 0 ]$
$G(6, 2, 2) \ltimes L_2$	$\frac{\sqrt{3}}{2}$	$\frac{\sqrt{3}}{2} \mathbb{Z}$	$[ r_1, 0, 0 ]$ $[ r_1, \beta_1, 0 ]$ $[ r_1, \omega\beta_1, 0 ]$ $[ r_2, 0, 0 ]$ $[ r_2, (2+\omega)\beta_2, 0 ]$ $[ r_2, (-1+\omega)\beta_2, 0 ]$ $[ r_3, 0, 0 ]$ $[ r_3, \frac{2+\omega}{\sqrt{2}}\beta_3, \frac{\sqrt{3}}{4} ]$
$G(6, 3, 2) \ltimes L_2$	$\sqrt{3}$	$\sqrt{3}\mathbb{Z}$	$[ r_1, 0, 0 ]$ $[ r_1, \beta_1, 0 ]$ $[ r_1, 2\omega\beta_1, 0 ]$ $[ r_2, 0, 0 ]$ $[ r_2, 2\beta_2, 0 ]$ $[ r_2, \omega\beta_2, 0 ]$ $[ r_3, 0, 0 ]$ $[ r_3, \sqrt{2}\beta_3, 0 ]$ $[ r_3, \sqrt{2}\omega\beta_3, 0 ]$

Crystallographic Group	$q_0$	Center	Sections (Generators)
K 4 $\ltimes$ L	$\frac{1}{\sqrt{3}}$	$\frac{1}{\sqrt{3}} \mathbb{Z}$	[ $r_1, 0, 0$ ] [ $r_1, \beta_1, \frac{1}{2\sqrt{3}}$ ] [ $r_2, 0, 0$ ] [ $r_2, \beta_2, \frac{1}{2\sqrt{3}}$ ]
K 5 $\ltimes$ L	$\frac{1}{\sqrt{3}}$	$\frac{1}{\sqrt{3}} \mathbb{Z}$	[ $r_1, 0, 0$ ] [ $r_1, \beta_1, \frac{1}{2\sqrt{3}}$ ] [ $r_2, 0, 0$ ] [ $r_2, \sqrt{2}\beta_2, 0$ ]
K 8 $\ltimes$ L	1	$\frac{1}{2} \mathbb{Z}$	[ $r_1, 0, 0$ ] [ $r_1, \beta_1, 0$ ] [ $r_2, 0, 0$ ] [ $r_2, \beta_2, 0$ ]
		$\mathbb{Z}$	[ $r_1, 0, 0$ ] [ $r_1, \beta_1, \frac{1}{2}$ ] [ $r_2, 0, 0$ ] [ $r_2, \beta_2, \frac{1}{2}$ ]
K 12 $\ltimes$ L	$\sqrt{2}$	$\frac{1}{\sqrt{2}} \mathbb{Z}$	[ $r_j, 0, 0$ ] [ $r_j, \beta_j, 0$ ] [ $r_j, i\sqrt{2}\beta_j, 0$ ] ( $j = 1, 2, 3$ )

Crystallographic Group	$q_0$	Center	Sections (Generators)
K 2 4 $\ltimes$ L	$\frac{\sqrt{7}}{2}$	$\frac{\sqrt{7}}{2} \mathbb{Z}$	[ $r_j, 0, 0$ ] [ $r_j, \beta_j, 0$ ] [ $r_j, \eta \beta_j, 0$ ] ( $j = 1, 2, 3$ )
K 2 5 $\ltimes$ L	$\frac{1}{\sqrt{3}}$	$\frac{1}{\sqrt{3}} \mathbb{Z}$	[ $r_j, 0, 0$ ] [ $r_j, \beta_j, \frac{1}{2\sqrt{3}}$ ] ( $j = 1, 2, 3$ )
K 2 6 $\ltimes$ L <sub>1</sub>	$\frac{1}{2\sqrt{3}}$	$\frac{1}{2\sqrt{3}} \mathbb{Z}$	[ $r_j, 0, 0$ ] [ $r_j, \frac{1}{\sqrt{2}} \beta_j, \frac{1}{4\sqrt{3}}$ ] ( $j = 1, 2$ ) [ $r_3, 0, 0$ ] [ $r_3, \beta_3, 0$ ] [ $r_3, \omega \beta_3, 0$ ]
K 2 6 $\ltimes$ L <sub>2</sub>	$\frac{1}{2\sqrt{3}}$	$\frac{1}{2\sqrt{3}} \mathbb{Z}$	[ $r_j, 0, 0$ ] [ $r_j, \frac{1}{\sqrt{2}} \beta_j, \frac{1}{4\sqrt{3}}$ ] ( $j = 1, 2$ ) [ $r_3, 0, 0$ ] [ $r_3, \frac{2\omega+1}{3} \beta_3, 0$ ] [ $r_3, \frac{2+\omega}{3} \beta_3, 0$ ]

Crystallographic Group	$q_0$	Center	Sections ( Generators )
K <sub>2</sub> 9 $\times$ L	1	$\mathbb{Z}$	$[ r_j, 0, 0 ]$ $[ r_j, \beta_j, 0 ]$ $[ r_j, i\beta_j, 0 ]$ $( j = 1, \dots, 4 )$
K <sub>3</sub> 1 $\times$ L	1	$\frac{1}{2} \mathbb{Z}$	$[ r_j, 0, 0 ]$ $[ r_j, \beta_j, 0 ]$ $[ r_j, i\beta_j, 0 ]$ $( j = 1, \dots, 5 )$
K <sub>3</sub> 2 $\times$ L	$\frac{1}{\sqrt{3}}$	$\frac{1}{\sqrt{3}} \mathbb{Z}$	$[ r_j, 0, 0 ]$ $[ r_j, \beta_j, \frac{1}{2\sqrt{3}} ]$ $( j = 1, \dots, 4 )$
K <sub>3</sub> 3 $\times$ L	$\frac{\sqrt{3}}{2}$	$\frac{\sqrt{3}}{2} \mathbb{Z}$	$[ r_j, 0, 0 ]$ $[ r_j, \beta_j, 0 ]$ $[ r_j, \omega\beta_j, 0 ]$ $( j = 1, \dots, 5 )$
K <sub>3</sub> 4 $\times$ L	$\frac{\sqrt{3}}{2}$	$\frac{\sqrt{3}}{2} \mathbb{Z}$	$[ r_j, 0, 0 ]$ $[ r_j, \beta_j, 0 ]$ $[ r_j, \omega\beta_j, 0 ]$ $( j = 1, \dots, 6 )$

Crystallographic Group	$q_0$	Center	Generators
$[G(4, 2, n-1), L_1] \cdot$ $(n \geq 3)$	1	$\mathbb{Z}$	$[r_j, 0, 0]$ $[r_j, \beta_j, 0]$ $[r_j, i\beta_j, 0]$ $(j = 1, \dots, n-1)$ $[r_n, \frac{1}{\sqrt{2}}\beta_n, 0]$ $[r_n, \frac{i}{\sqrt{2}}\beta_n, 0]$ $[r_n, -\frac{i}{\sqrt{2}}\beta_n, 0]$
$[K_{12}, L] \cdot$	1	$\frac{1}{2}\mathbb{Z}$	$[r_j, 0, 0]$ $[r_j, \beta_j, 0]$ $[r_j, i\sqrt{2}\beta_j, 0]$ $(j = 1, 2)$ $[r_3, \frac{i}{\sqrt{2}}\beta_3, 0]$ $[r_3, \frac{\sqrt{2}+i}{\sqrt{2}}\beta_3, 0]$ $[r_3, \frac{3i}{\sqrt{2}}\beta_3, 0]$
$[K_{31}, L] \cdot$	1	$\frac{1}{2}\mathbb{Z}$	$[r_j, 0, 0]$ $[r_j, \beta_j, 0]$ $[r_j, i\sqrt{2}\beta_j, 0]$ $(j = 1, \dots, 4)$ $[r_5, \frac{1+i}{2}\beta_5, 0]$ $[r_5, \frac{-1+i}{2}\beta_5, 0]$ $[r_5, \frac{1-i}{2}\beta_5, 0]$

## References

- [1] N. Bourbaki, Groups et Algèbres de Lie ch. 4,5 et 6, Hermann Paris (1968).
- [2] A. M. Cohen, Finite complex reflection groups, Ann. Sci. Ecole Norm. Sup. 9 (1976), 379-436.
- [3] H. S. M. Coxeter, Discrete groups generated by reflections, Ann. Math. 35 (1934), 588-621.
- [4] H. S. M. Coxeter, Finite groups generated by unitary reflections, Abh. a. d. Math. Sem. d. Univ. Hamburg, 31 (1967), 125-135.
- [5] H. S. M. Coxeter, Regular complex polytopes, Cambridge Univ. Press (1974).
- [6] J. Kaneko, S. Tokunaga and M. Yoshida, Complex crystallographic groups II, J. Math. Soc. Japan, 34 (1982), 595-605.
- [7] I. I Piatetskii-Shapiro, Automorphic Functions and the Geometry of Classical Domains, Gordon and Breach, New York (1969).
- [8] V. L. Popov, Discrete complex reflection groups, comm. math. Ins. r. Utrecht, 15 (1982).
- [9] G. C. Shephard, Unitary groups generated by reflections, Canad. J. Math. 5 (1953), 364-383.
- [10] G. C. Shephard and J. A. Todd, Finite unitary reflection groups, Canad. J. Math. 6 (1954), 274-304.
- [11] S. Tokunaga and M. Yoshida, Complex crystallographic groups I, J. Math. Soc. Japan, 34 (1982), 581-593.

- [12] M. Yoshida, Discrete reflection groups in the parabolic subgroup of  $SU(n, 1)$  and generalized Cartan matrices of Euclidean type, J. Fac. Sci. Univ. Tokyo, 30 (1983), 25-52.
- [13] M. Yoshida, Local theory of Fuchsian systems with certain discrete monodromy groups I, Funkcial Ekvac, 21 (1978), 105-137.
- [14] M. Yoshida and S. Hattori, Local theory of Fuchsian systems with certain discrete monodromy groups III, Funkcial Ekvac, 22 (1979), 1-40.
- [15] J. A. Wolf, Spaces of Constant Curvature, MacGraw-Hill, New York (1967).